

Инверсионные домены в вюрцитном нитриде бора

В. Ф. Бритун, А. В. Курдюмов, А. И. Даниленко

Методом просвечивающей электронной микроскопии изучена доменная структура, возникающая в вюрцитном нитриде бора при его ударно-волновом синтезе. Прослежены изменения доменной структуры при термообработках вюрцитного BN в условиях высоких статических давлений. Рассмотрены возможные механизмы аннигиляции доменных границ.

Введение

Для кристаллов соединений со структурами вюрцитита или сфалерита характерно наличие полярной оси, что приводит к существенным различиям свойств полярно противоположных граней этих кристаллов. В таких кристаллах могут образовываться домены, различающиеся ориентацией полярной оси [1, 2]. Эти домены получили название инверсионных доменов (ИД), а границы между ними — инверсионных границ (ИГ) [2, 3]. Экспериментально инверсионные домены обнаружены в ряде соединений, имеющих структуру вюрцитита: ZnO [4], AlN [5], BeO [6], GaN [7]. В работах [1, 6, 7] представлены модели атомного строения инверсионных границ в таких соединениях. В работе [8] авторы обнаружили плоские дефекты в призматических плоскостях вюрцитного BN (BN_b) и предположили, что эти дефекты являются инверсионными границами. Настоящая работа посвящена исследованию ИД в вюрцитном нитриде бора, их атомной структуры, а также термостабильности этих дефектов в BN_b .

Образцы для исследований

Вюрцитный нитрид бора для исследований получали из порошка графитоподобного нитрида бора (BN_r) гексагональной модификации двумя способами: в условиях ударного сжатия при давлении порядка 20 ГПа и в условиях высокого статического сжатия при давлении 7,7 ГПа. Поскольку образование BN_b происходит только в ходе мартенситных превращений высокоупорядоченного графитоподобного BN [9], в качестве исходного использовали BN_r с высокой степенью трехмерного упорядочения ($P_3 > 0,95$). Величину P_3 определяли по методике, описанной в работе [10]. Для электронно-микроскопических исследований выбран BN_r с достаточно крупным зерном (средний размер зерен около 10 мкм), а для уменьшения эффекта диспергирования BN ударной волной сжатию подвергали смесь BN_r с водой. После отмычки продуктов ударного сжатия от остаточного BN_r из порошка BN_b приготовили 5 компактных образцов для исследований структуры. Образец № 1 получен компактированием смеси порошка BN_b с эпоксидной смолой. Образцы № 2—5 готовили прессованием порошка BN_b без добавок при высоком статическом давлении (время сжатия — 90 с при давлении 7 ГПа и температурах 500, 700, 1000 и 1200 °C соответственно). Еще три образца

(образцы № 6—8), содержащие BN_b, получены методом статического сжатия исходного BN_r (давление — 7,7 ГПа, температура — 700, 1000 и 1200 °C). Тонкие объекты для электронно-микроскопических исследований готовили методом ионного распыления. Все образцы исследовали методами рентгеновской дифрактометрии (дифрактометр HZG-4a) и просвечивающей электронной микроскопии (микроскоп JEM-100CX).

Результаты и их обсуждение

Исследование структуры образцов № 6—8, в которых образование BN_b происходило при статическом сжатии, показало, что содержание вюрциттной фазы составляло 5—20% (об.). В зернах вюрциттного BN этих образцов наблюдались только базисные дефекты упаковки (ДУ), а инверсионные границы не обнаружены.

В вюрциттном BN, полученном при ударном сжатии, присутствовали многочисленные плоские дефекты, залегающие в призматических плоскостях (рис. 1, *a*). Дефектная структура зерен BN_b в образцах № 1 и 2 существенно не различается: очевидно, приготовление компактного образца сжатием при 500 °C не приводит к заметному изменению дефектной структуры зерен. Линейная плотность призматических дефектов в образцах № 1 и 2 достигает 10^8 м^{-1} . (Отметим, что расстояние между дефектами $L \approx 10 \text{ нм}$ достаточно хорошо согласуется с размерами ОКР в направлении [hk0], определенными рентгенографически в работе [9]). В зернах BN_b этих образцов встречаются также редкие ДУ, залегающие в базисных плоскостях (0001). В зернах BN_b образца № 3 наблюдается заметное увеличение количества базисных ДУ и снижение плотности призматических дефектов (рис. 2).

В образце № 4 плотность призматических дефектов уменьшилась примерно на два порядка, тогда как плотность базисных ДУ резко возросла. В образце № 5 выявлены только базисные дефекты упаковки, а дефекты в призматических плоскостях отсутствовали (рис. 1, *в*). Идентификацию дефектов в призматических плоскостях проводили по методике, описанной в работе [11]. На доменах, разделенных призматическими дефектами, наблюдались особенности электронно-микроскопического контраста, характерные для ИД. Так, на светлопольных изображениях контраст соседних доменов одинаков, контраст на границах доменов — слабый. При ориентировке зерна осью зоны [100] параллельно электронному пучку на темнопольных изображениях, полученных в рефлексах hkl с нечетным l , виден сильный контраст от границ между доменами (рис. 1, *а*), а в рефлексах с четным l — контраст на границах отсутствует (рис. 1, *б*). На темнопольных изображениях наблюдается также изменение контраста при смене действующего рефлекса g на $-g$ (рис. 2, *а, б*). Наличие контраста на ИГ в рефлексах 101, 103 и погасание контраста в рефлексах 002, 100 и 102 позволило определить вектор сдвига на ИГ как $\vec{R} = 1/2 [001]$ (особенности контраста определяются фазовым множителем $\alpha = 2\pi\vec{g} \cdot \vec{R}$, где \vec{R} — вектор сдвига на границе; g — величина действующего вектора отражения). При наблюдении ИГ в зернах BN_b, ориентированных осью зоны [100] параллельно электронному лучу, след ИГ на изображении параллелен оси [001] BN_b. А в зернах, ориентированных осью зоны [011] параллельно лучу, след ИГ на изображении перпендикулярен направлению [210] BN_b. Эти

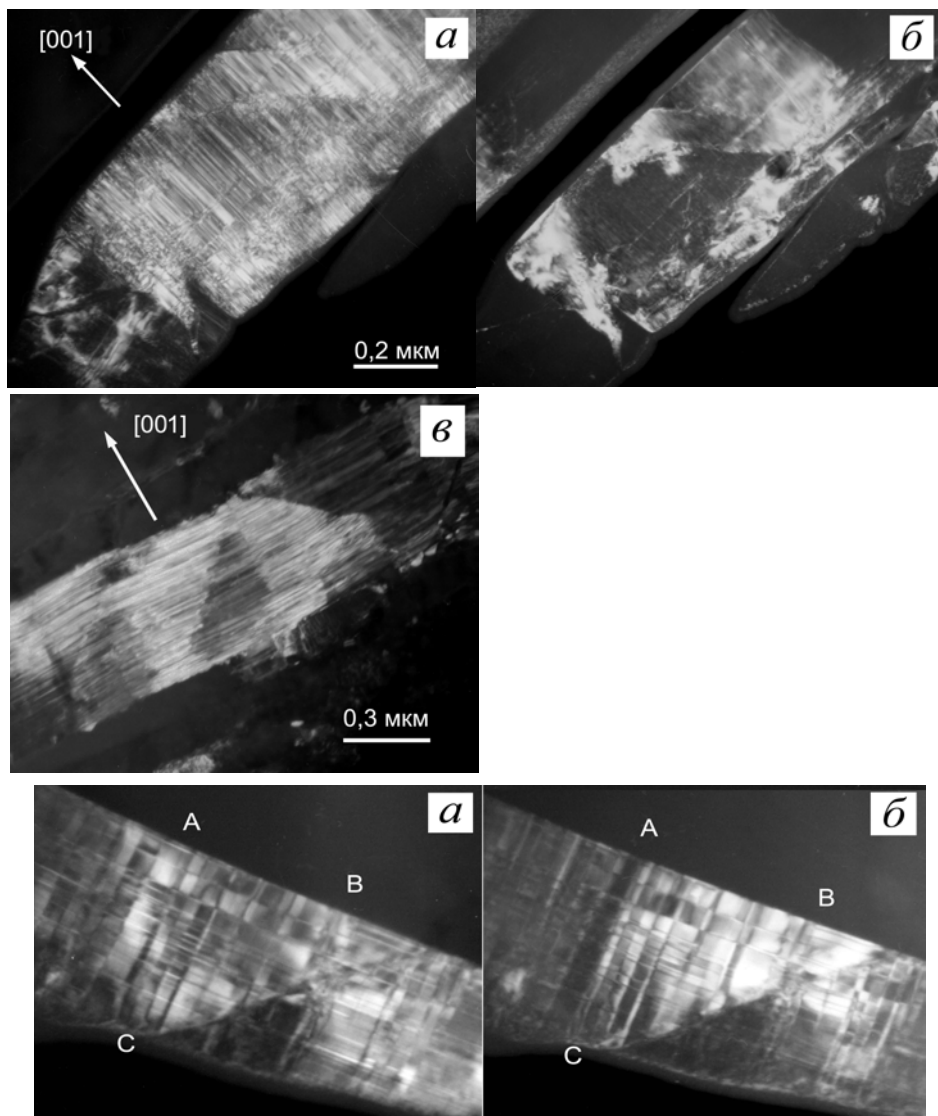


Рис. 2. Контраст на инверсионных доменах. Изображения в рефлексах $g = 011$ (а) и $0\bar{1}\bar{1}$ (б). Область внутри треугольника АВС соответствует эксцинкционному контуру.

данные показывают, что ИГ залегают в плоскостях типа $\{100\}$ $\text{BN}_\text{в}$. Инверсионные домены имеют форму пластин толщиной 10—20 нм. Как правило, зерно $\text{BN}_\text{в}$ оказывается разделенным на фрагменты, в каждом из которых присутствует система параллельных ИГ.

Дифракционные эффекты, обусловленные наличием ИГ, показаны на рис. 3, а. На электронограмме видно, что дифракционные максимумы с нечетными l заметно уширены в направлении $[210]^*$ обратной решетки, тогда как рефлексы с четными l практически не уширены. Для сравнения на рис. 3, б показана электронограмма зерна $\text{BN}_\text{в}$ образца № 4, подвергнутого термообработке при 1000 °C. В последнем концентрация ИГ примерно на два порядка ниже, а концентрация ДУ на два порядка выше, чем в образце № 1. Сравнение электронограмм показывает, что отжиг ИГ и образование базисных ДУ меняют и характер уширения

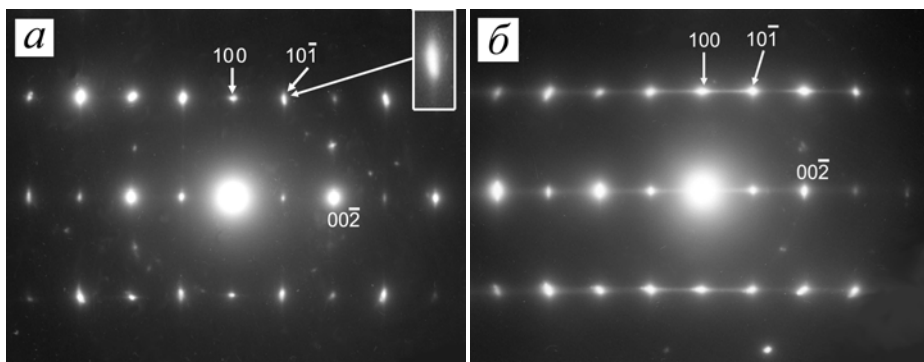


Рис. 3. Микроэлектронограммы зерен BN_b с высокой плотностью инверсионных границ (а, образец № 1) и базисных дефектов упаковки деформационного типа (б, образец № 4).

дифракционных максимумов. Уширение дифракционных максимумов в направлении [210]* исчезает, но появляется уширение в направлении [001]*. Отметим, что дифракционные эффекты наблюдаются и на рентгеновских дифрактограммах вюрцититного BN с высокой плотностью ИГ. На рис. 4 показана зависимость ширины дифракционных максимумов от дифракционного угла для порошка BN_b [9]. Видно, что максимумы с нечетным l уширены заметно сильнее, чем с четным.

Возможные варианты атомной структуры ИГ, залегающих в плоскостях {100} кристаллов со структурой вюрцитита, рассмотрены в работе [7]. При этом для границ с вектором сдвига $\vec{R} = 1/2 [001]$ предложено две модели структуры V_1 и V_2 (рис. 5). Отметим, что вектор сдвига \vec{R} на ИГ типа V_1 и V_2 определяли в работах [7, 8 и 12] по атомным моделям границ, при этом в отмеченных работах предложены разные величины сдвига на границе. Различия обусловлены тем, что авторы разных работ по-разному выбирают элементарные ячейки слева и справа от ИГ (в работе [7] ячейки различаются сортом атомов в вершинах, а в [8 и 12] — операцией инверсии относительно центра ячейки). Определенное нами экспериментально значение \vec{R} соответствует величине, приведенной в работе [7].

Анализ структурных перестроек кристаллической решетки в ходе мартенситного превращения $\text{BN}_\text{r} \rightarrow \text{BN}_\text{b}$, при котором плоскость (001) BN_r гофрируется и расщепляется на два подслоя (этот процесс известен как процесс гофрировки [13]), показывает, что в ходе превращения могут образовываться оба типа границ: V_1 и V_2 . В обоих случаях появление ИГ обусловлено двумя вариантами

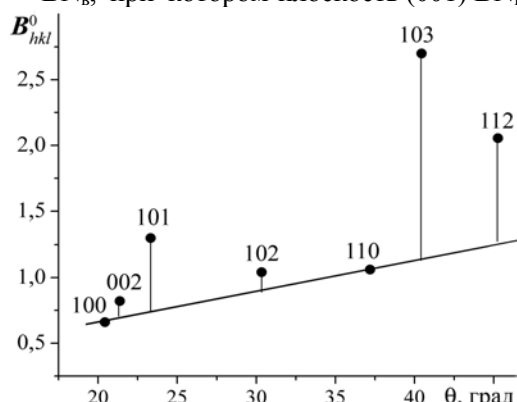


Рис. 4. Зависимость ширины максимума на рентгенограмме BN_b от угла дифракции [9].

расщепления плоскости (001) BN_r , различающимися смещениями атомов бора (азота) вверх или вниз, что и определяет образование доменов с разной ориентацией полярной оси [001]. Проведенные в работе эксперименты с компактированием исходного порошка BN_v в условиях высоких давлений и температур показали, что ИГ нестабильны при температуре порядка 1000 °С и выше. Перестройку границ при отжиге можно представить как процесс поворота рядов связей B_1 и B_2 , сопровождающийся разрывом связей B_3 и образованием связей B_4 . Перемещение границы V_1 на расстояние L_1 показано на рис. 5, где пунктирные линии соответствуют положению связей после поворотов. Заметим, что все эти перестройки не связаны с диффузией и по своему характеру напоминают атомные перестройки при движении частичных дислокаций Шокли в структуре вюртцита [14]. Когда перемещающаяся ИГ₁ подходит к соседней ИГ₂, происходит их аннигиляция, при этом три инверсионных домена сливаются в один. Отметим, что описанные повороты связей могут приводить не только к перемещению ИГ, но и к перестройке ИГ типа V_1 в ИГ типа V_2 (рис. 5).

Наличие в монокристаллической частице большого количества ИД может нивелировать различие макросвойств полярно противоположных граней этой частицы. В свою очередь, это может оказывать влияние на процессы спекания таких частиц и особенности структуры межзеренных границ, формирующихся при спекании. Для частиц BN_v характерна пластинчатая форма, при этом развитые поверхности соответствуют полярно противоположным граням. Перед спеканием BN_v в исходной засыпке большая доля межчастичных контактов соответствует контактам по развитым базисным плоскостям (001). При этом примерно в половине случаев контактируют грани В и N, а другая половина базисных контактов соответствует контактам граней В—В и N—N. При контакте поверхностей N—N или В—В могут формироваться границы со слабыми связями: N—N или В—В. Для образования из таких контактов границ со связями В—N необходим диффузионный перенос атомов на расстояния, соизмеримые с размерами частиц. В случае наличия в частицах инверсионных доменов на всех гранях присутствуют как атомы бора, так и атомы азота

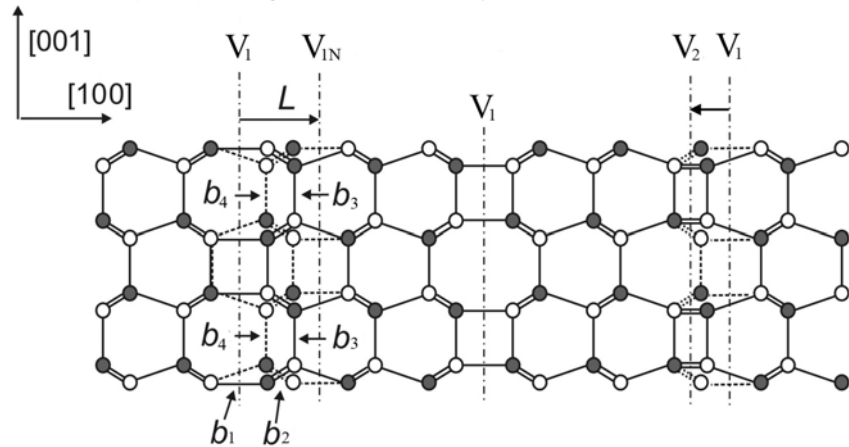


Рис. 5. Схема атомной структуры инверсионных границ V_1 и V_2 . Показана перестройка связей при перемещении границы V_1 на расстояние L , а также при превращении границы V_1 в V_2 .

и для формирования связей В—Н при спекании достаточно переноса атомов на расстояния, соизмеримые с размером домена.

Выводы

Образование вюрцитного BN в результате бездиффузионного фазового превращения $\text{BN}_\text{r} \rightarrow \text{BN}_\text{v}$ в условиях ударного сжатия сопровождается формированием в зернах BN_v инверсионных доменов, которые разделены инверсионными границами, залегающими в призматических плоскостях {100}. Границы характеризуются вектором смещения $\vec{R} = 1/2 [001]$ и относятся к границам типа V_1 и V_2 . Домены имеют плоскую форму, их толщина составляет 10—20 нм. Доменная структура, образовавшаяся в вюрцитном BN при фазовом превращении, нестабильна. При температурах порядка 1000 °С начинается интенсивный отжиг ИГ, который связан с бездиффузионным перемещением и аннигиляцией соседних ИГ. Прохождение ИГ через кристалл меняет направление полярной оси в кристалле, а рассмотренный механизм перемещения ИГ показывает, что такой “поворот” оси может происходить за счет протекания бездиффузионных перестроек.

Образования инверсионных доменов при превращении BN_r в BN_v в условиях статического сжатия не обнаружено. Возможно, это обусловлено различиями процессов зарождения вюрцитной фазы при динамическом и статическом сжатии.

1. Holt D. B. Antiphase boundaries in semiconducting compounds // J. Phys. Chem. Solids. — 1969. — **30**. — P. 1297—1308.
2. Holt D. B. Polarity reversal and symmetry in semiconducting compounds with the sphalerite and wurtzite structures // J. of Mater. Science. — 1984. — **19**. — P. 439—446.
3. Pond R. C., Holt D. B. Antisymmetry of surfaces and interfaces in polar material // J. de Phys. — 1982. — **43**, No. 10. — P. C1—57—62.
4. Kim J. C. and Goo E. The inversion twine boundaries in zinc oxide // J. Amer. Ceram. Soc. — 1990. — **73**. — P. 877—884.
5. Westwood A. D. and Notis M. R. Ynversion domain boundaries in aluminum nitride // Ibid. — 1991. — **74**. — P. 1226—1239.
6. Austerman S. B. and Gehman W. G. The inversion twine prototype in beryllium oxide // J. Mater. Sci. — 1966. — **1**. — P. 249—260.
7. Potin V., Ruterana P. and Nouet G. The atomic structure of {1010} inversion domain boundaries in GaN/sapphire layers // J. Appl. Phys. — 1997. — **82**. — P. 2176—2183.
8. Britun V. F. and Kurdyumov A. V. Crystal defect generation during diffusionless transformations of boron nitride by puckering mechanism // J. Mater. Sci. — 1999. — **34**. — P. 5677—5680.
9. Курдюмов А. В., Пилиякевич А. Н. Фазовые превращения в углероде и нитриде бора. — К.: Наук. думка, 1979. — 188 с.
10. Курдюмов А. В. О дефектах упаковки в графитоподобном нитриде бора // Кристаллография. — 1975. — **20**, № 5. — С. 969—973.
11. Snykers M., Serneels R., Delavignette P. et al. Diffraction contrast between inversion domains and at inversion domen boundaries // Phys. Stat. Sol. (a). — 1977. — **41**. — P. 51—63.
12. Dimitrakopoulos P., Komninou Ph., Kioseoglou J. et al. Structural transition of inversion domain boundaries through interactions with stacking faults in epitaxial GaN // Phys. Rev. B. — 2001. — **64**. — P. 245325-1—245325-12.
13. Riter J. R. Interpretation of diamond and graphite compressibility data using molecular force constants // J. Chem. Phys. — 1970. — **52**, No. 10. — P. 5008—5010.
14. Alexander H. Dislocations in Covalent Crystals // Dislocations in Solids / Ed. F. R. N. Nabarro. — Amsterdam: Elsevier. — 1986. — 7, Ch. 35. — P. 114—234.